

复杂网络链路可预测性：基于特征谱视角

谭索怡 祁明泽 吴俊 吕欣

Link predictability of complex network from spectrum perspective

Tan Suo-Yi Qi Ming-Ze Wu Jun Lu Xin

引用信息 Citation: *Acta Physica Sinica*, 69, 088901 (2020) DOI: 10.7498/aps.69.20191817

在线阅读 View online: <https://doi.org/10.7498/aps.69.20191817>

当期内容 View table of contents: <http://wulixb.iphy.ac.cn>

您可能感兴趣的其他文章

Articles you may be interested in

基于复杂网络动力学模型的无向加权网络节点重要性评估

Evaluation methods of node importance in undirected weighted networks based on complex network dynamics models

物理学报. 2018, 67(9): 098901 <https://doi.org/10.7498/aps.67.20172295>

复杂网络谱粗粒化方法的改进算法

Improved algorithm of spectral coarse graining method of complex network

物理学报. 2017, 66(6): 060502 <https://doi.org/10.7498/aps.66.060502>

知识图谱复杂网络特性的实证研究与分析

Empirical study of knowledge network based on complex network theory

物理学报. 2019, 68(12): 128902 <https://doi.org/10.7498/aps.68.20190106>

基于相对距离的复杂网络谱粗粒化方法

A spectral coarse graining algorithm based on relative distance

物理学报. 2019, 68(10): 100501 <https://doi.org/10.7498/aps.68.20181848>

基于领域相似度的复杂网络节点重要度评估算法

Node importance measurement based on neighborhood similarity in complex network

物理学报. 2017, 66(3): 038902 <https://doi.org/10.7498/aps.66.038902>

专题：统计物理和复杂系统

复杂网络链路可预测性：基于特征谱视角*

谭索怡¹⁾ 祁明泽²⁾ 吴俊^{3)†} 吕欣^{1)‡}

1) (国防科技大学系统工程学院, 长沙 410073)

2) (国防科技大学文理学院, 长沙 410073)

3) (北京师范大学复杂系统国际科学中心, 珠海 519087)

(2019年11月3日收到; 2020年2月27日收到修改稿)

近年来链路预测的理论和实证研究发展迅速, 大部分工作关注于提出更精确的预测算法. 事实上, 链路预测的前提是网络的结构本身能够被预测, 这种“可被预测的程度”可以看作是网络自身的基本属性. 本文拟从特征谱的视角去解释网络的链路可预测性, 并刻画网络的拓扑结构信息, 通过对网络特征谱进行分析, 构造了复杂网络链路可预测性评价指标. 通过该指标计算和分析不同网络的链路可预测性, 能够在选择算法前获取目标网络能够被预测的难易程度, 解决到底是网络本身难以预测还是预测算法不合适的问题, 为复杂网络与链路预测算法的选择和匹配问题提供帮助.

关键词: 可预测性, 链路预测, 特征谱, 复杂网络**PACS:** 89.75.Hc, 89.75.Fb, 64.60.aq**DOI:** 10.7498/aps.69.20191817

1 引言

近年来, 复杂网络研究迅速发展, 其学科分支在包括数学、统计物理、生物医学、化学、计算机等领域掀起研究热潮^[1-5]. 在现代信息科学领域中, 链路预测作为将复杂网络与信息科学连接起来的重要桥梁, 关心的是信息科学中最基本的问题——缺失信息的预测和还原问题^[6,7]. 即在一个网络中, 如何基于已知连边信息, 刻画网络的相似性, 进而重现因为数据缺失尚未观察到的连边, 或者预测未来网络演化过程中将要出现的连边.

目前链路预测相关理论方法研究主要围绕基于马尔科夫链、最大似然估计、概率模型、网络结构相似性等数学领域和统计物理的观点和方法展开. 早期的链路预测领域普遍关注的是马尔科夫链

和机器学习, 主要存在着计算复杂度较高, 参数设置不具有普适性等问题^[8]. 也有学者提出从似然分析的角度构建链路预测框架, 比较经典的有层次结构模型^[9]和随机分块模型^[10]. Pan等^[11]提出的闭路模型, 拥有比前两者更好的预测精度. 似然分析的优点在于能够从理论上帮助我们理解网络结构特征, 然而受限其自身理论的复杂性, 这类方法不是应用性很强的方法, 即使构思巧妙, 在处理大规模网络时也会显得吃力. 最早由 Taskar等^[12]提出的概率模型是数据挖掘领域的传统模型, 该模型在预测时同时运用了网络的结构信息和节点的属性信息, 概率模型拥有较高的预测精确度, 但是同时产生的高计算复杂度以及其参数设置存在非普适性, 都限制了该类方法的应用范围. 得益于 David 和 Kleinberg^[13]在 2007 年有关链路预测结构相似性的论文, 基于网络结构相似性的链路预测问题在

* 国家自然科学基金 (批准号: 82041020, 71771213, 71901067, 71871217) 和湖南省科技计划项目 (批准号: 2017RS3040, 2018JJ1034, 2019JJ20019) 资助的课题.

† 通信作者. E-mail: wujunpla@hotmail.com

‡ 通信作者. E-mail: xin.lu@flowminder.org

近年受到越来越多的关注. Zhou 等^[14]把链路预测问题和评价指标都进行了简化,很多研究人员开始利用同样的数据和指标分析链路预测问题.基于相似性的算法,作为最简单的链路预测算法框架,其中一系列算法复杂性低但预测精度不错的局部相似性指标的提出,大幅度增加了链路预测在超大规模网络中的可应用性.

利用链路预测算法精准地预测网络的未知结构有着广泛的应用前景.例如,在军事对抗中,通常只能侦测到敌方作战网络的部分结构信息,如果我们能够获得更多更准确的信息,就可以制定一定的优先级规则或重要性标准来选择性地攻击网络中的关键节点或连边^[15,16];在生物实验中,研究人员需要通过大量的实验研究去推断探索细胞组分内部的交互作用,一个具有指导作用的预测结果能有效降低实验成本并帮助人类理解生物网络连边演化机制的规律^[17,18];社交网络中,读懂用户的兴趣偏好和喜怒哀乐,对企业的发展事至关重要,一个好的“猜你要关注”推荐能够牢牢地黏住老用户、吸引新用户^[19,20].此外,一个优秀的链路预测算法往往蕴含着一种可能的网络演化机制^[21–24].遗憾的是,除非站在上帝视角,否则没有人能判断一个链路预测算法是否足够精准.如果网络的节点对之间随机连接,任何算法可能都会无功而返,难以做出有效预测;相反,面对一个有特定的连边演化机制,非常规则的网络,一个足够优秀的方法能够实现精度很高的预测.此外,即使是同一个网络,不同链路预测算法的准确性也不尽相同,这种精度值只能相对地反映出网络对于某种特定预测算法的预测精度,算法不同,精度也随之改变,并不能刻画网络自身的固有的链路可预测性,很多时候,我们都面临着是预测算法不合适还是网络本身就难以预测这样一个网络与算法的选择和匹配问题.

显然,网络中待预测的连边集合与网络中不存在的连边集合交集为空集,无论预测的准确性和效率如何,理论上我们总可以通过无限加边命中所有待预测的连接.然而这种上界是没有价值的,不考虑成本的加边会带来巨大的成本消耗和结构噪音,这样的情况显然偏离了链路预测的初衷.如果能够获悉一个网络的链路信息能够多大程度被预测出来,就能够提供一个导向,确定当前算法是否接近或者已经达到目标网络的可预测上限.因此,刻画网络多大程度上能够被预测是链路预测中首先需

要解决的问题,这个问题在相关文献中被称为复杂网络的链路可预测性问题.

近年来链路预测的理论和实证研究发展迅速,但绝大部分研究的目的都是希望提出更准确的预测算法^[25,26],关于复杂网络链路可预测性的研究起步较晚,相关成果少见报道.许小可等^[27]最早从理论上比较了各种算法的优劣,分析多个网络演化过程中形成链接的两个节点之间的拓扑距离分布,阐明了传统基于共同邻居相似性指标可有效进行链路预测的机理,从理论上分析了9种基于共同邻居相似性算法的预测上限. Lü等^[28]提出结构一致性的概念,认为网络“可被预测的程度”,是网络的一种重要固有属性.通过对已知网络进行扰动,刻画重构的邻接矩阵和真实邻接矩阵的差异.如果丢失的连边没有显著改变网络的结构,那么这个网络是可预测的,即网络的结构一致性越强,网络可预测性越好.熵被广泛用来测量物理系统中的无序度, Yin等^[29]设计了基于证据推理(Dempster-Shafer theory)的链路预测算法,从香农信息熵的视角出发,分析了网络链路信息的可预测性.

本文拟从特征谱的视角去理解网络拓扑信息,并刻画网络的链路可预测性.首先基于特征谱理论给出复杂网络链路可预测性的数学描述,提出可预测性指标.在此基础上,通过计算和分析不同实证网络的链路可预测性,验证该指标的有效性.

2 链路预测问题描述

在本文的研究中,主要讨论无向无权网络.令 $G(V, E)$ 表示无向无权网络, V 表示节点, E 表示连边.令 $U = N(N-1)/2$ 表示连边的全集.对于网络中未连边的节点对 (v_i, v_j) , 可以通过某种预测算法得到其得分矩阵,将所有未连边列表中节点对的得分降序排列,排在前面的节点对之间产生链接的可能性大.

在网络进行链路预测之前,我们并不知道网络缺失的部分和未来演化中可能出现的连边连接情况,因此,在实验中,将网络中已有的连边集合 E 划分为训练集 E^T 和测试集 E^P .显然, $E = E^T \cup E^P$, $E^T \cap E^P = \emptyset$.链路预测算法通过学习训练集 E^T 中的相似性进行预测,并通过测试集 E^P 检测算法预测效果,测试集中存在的预测连边越多,算法的准确性越高.其中,数据集的划分存在多种方式,

为排除其干扰, 本文所有实验中均采用随机抽样法. 常见的算法评价指标有 AUC (area under the receiver operating characteristic curve)^[30], 精确度 (precision)^[31] 和排序分 (ranking score)^[32], 本文选用 precision 对预测结果进行评价. precision 定义为在前 L 条边的预测中, 正确预测连边的比例. 如果有 m 条边被正确预测, 则 precision 的定义为

$$\text{precision} = m/L. \quad (1)$$

为了更好地解释链路预测问题, 图 1 给出了一个简

单的例子. 图 1(a) 为 8 个节点和 13 条连边的完全信息网络. 我们采取随机抽样的方法选择 3 条连边作为测试集, 如图 1(b) 中黄色连边所示, 显然, 训练集包含 10 条连边. 由于 8 个节点的全连通网络共有 28 条连边, 则未连边的数目为 $28 - 10 = 18$. 选择一种链路预测算法, 对 18 条未知连边进行打分, 并将得分按从大到小排序, 精确度越高的算法能更多地将测试集中的 3 条连边 $\{e_{15}, e_{17}, e_{34}\}$ 排在其余 15 条不存在边的前面.

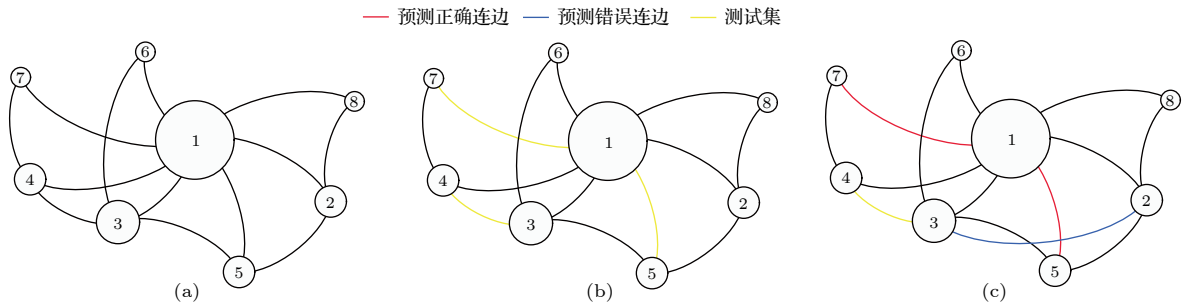


图 1 链路预测问题示意图

Fig. 1. Illustration of link prediction problem.

在这个例子中我们选择资源分配算法^[14]进行链路预测, 选取该算法认为存在可能性最高的 3 条连边添加到网络中, 如图 1(c) 所示, 红色连边表示正确预测, 蓝色连边表示错误预测, 可以看到, 算法正确预测了连边 e_{15} 和 e_{17} , 未能正确预测出节点 3 和节点 4 之间的连边 e_{34} 而是错误的认为连边 e_{23} 存在的可能性更高, 易计算得到, 此次预测精度 (precision) 为 $2/3$.

3 基于特征谱的复杂网络链路可预测性

3.1 复杂网络的特征谱

复杂网络的特征谱是代数图论的基本研究课题, 经过多年的研究, 如文献^[33]所述, 已有成熟的理论体系和丰富的研究成果. 网络的特征谱提供了包含网络功能和动力学行为在内的大量信息, 可以被形容为网络的“指纹”, 即网络与其特征谱是一一对应的, 不同类别的网络有着完全不同的特征谱. 因此, 通过分析和识别特征谱, 我们就能够锁定目标网络. 进一步, 特征谱不仅是网络的“指纹”, 还是网络的“脉象”. 通过分析特征谱这一网络“脉象”, 可以得到大量的网络结构信息. 例如, 通过拉

普拉斯矩阵 (Laplace matrix) 的最大特征根我们可以估计网络的度序列; 分析特征谱还可以挖掘网络社区结构; 网络的中心性和二部分性也可从特征谱得出^[34-37]. 最近有研究表明, 网络的特征值谱还可以表现网络结构和动力学 (例如神经与激发序列) 的层次性^[38].

令 G 表示无向无权图, $A(G) = (a_{ij})_{N \times N}$ 表示 G 的邻接矩阵, 其中若节点对 v_i 与 v_j 之间有连边, 则 $a_{ij} = 1$, 否则 $a_{ij} = 0$. 令 $\lambda_1 \geq \lambda_2 \geq \dots \geq \lambda_N$ 为 $A(G)$ 的特征根, 则称集合 $\{\lambda_i\}$ 为 G 的特征谱 (spectrum). 定义 d_i 为节点 v_i 的度. G 的拉普拉斯矩阵 (Laplace matrix) 可用数学公式表示为 $L(G) = D(G) - A(G)$, 式中, $D(G) = \text{diag}\{d_i\}$ 表示节点度的对角矩阵, 显然, $L(G)$ 是对称半正定矩阵. 令 $\mu_1 \geq \mu_2 \geq \dots \geq \mu_N$ 表示 $L(G)$ 的特征根, 则称集合 $\{\mu_i\}$ 为图 G 的拉普拉斯特征谱.

3.2 基于特征谱视角的网络链路可预测性

近年来, 很多统计物理领域的学者基于特征谱研究了图的沟通性 (communicability)^[34] 和可扩展性 (good expansion, GE)^[39]. 图的沟通性指网络中不同节点之间进行交流或传递信息的能力, 而可扩展性指那些既稀疏同时又高度连通的节点间的沟

通能力. 实际上, 统计物理角度的沟通和扩张, 在网络信息的视角中, 可以理解为网络结构某种程度上的演化和发展. 链路预测, 作为网络信息挖掘的技术手段, 一个很重要的功能便是预测缺失连边和未来可能存在的连边. 可以说, 链路预测算法与网络连边形成机制相辅相成, 好的链路预测算法本身就给出了很多网络演化可能机制的暗示; 反之网络的链路可预测性也可以理解为网络连边演化机制的另一种表现形式. 因此, 我们可以认为, 沟通性和可扩张性这两个指标所刻画的拓扑信息从某种

程度上来说和网络的链路可预测性是相似的, 即具备较好的链路可预测性的网络, 一般也具有较好的沟通性和可扩张性.

已有研究表明, 可扩张性好的网络同时也表现出良好的沟通性, 且这些网络特征谱的最大特征根 λ_1 远大于次大特征根 λ_2 , 即 $\lambda_1 \gg \lambda_2$. 我们在之前的工作中^[40]研究了无标度网络特征谱, 同样发现不同参数的无标度网络中存在着不同程度的 $\lambda_1 \gg \lambda_2$, 即存在谱隙 (spectrum gap) 现象, 如图 2 所示. 因此, 如果能够定量地刻画特征谱中 λ_1 和其他特征根之间的差距, 就能够像中医把脉一样, 定量刻画网络的链路可预测性.

3.3 可预测性的数学表达式

在各种各样衡量网络结构属性的指标中, 文献^[41]提出的子图中心性是基于网络特征谱的指标. 其认为闭环回路的路径长度越小, 回路信息交流越便利, 节点之间的联系越紧密, 对节点的中心性贡献越大. 节点 i 的子图中心性可以定义为

$$SC(i) = \sum_{j=1}^N (\xi_j^i)^2 e^{\lambda_j}, \quad (2)$$

其中 λ_j ($j = 1, 2, \dots, n$) 是邻接矩阵 \mathbf{A} 第 j 个特征向量的特征值, ξ_j 是 λ_j 所对应的特征向量, ξ_j^i 是邻接矩阵第 j 个特征向量的第 i 个组分, 例如, λ_1 和 ξ_1 分别是邻接矩阵 \mathbf{A} 的最大特征值及其对应的特征向量. 对于 (2) 式而言, 显然, $SC(i)$ 包含了从节点 i 出发, 偶数长度和奇数长度的所有的闭途径. 因此, (2) 式也可以表示为

$$SC(i) = \sum_{j=1}^N (\xi_j^i)^2 \cosh(\lambda_j) + \sum_{j=1}^N (\xi_j^i)^2 \sinh(\lambda_j) = SC_{\text{even}}(i) + SC_{\text{odd}}(i). \quad (3)$$

显然, 偶数长度的闭途径更多的是一些无环的轨迹, 更多地出现在二部分图中; 而奇数长度的闭途径则不包含这部分无效的路径. 本文的研究对象是简单无权图, 因此, 奇数长度的闭途径更适合于用来描述网络中节点与其邻居间的拓扑结构关系. 我们可以将 $SC_{\text{odd}}(i)$ 写成如下形式^[39]:

$$SC_{\text{odd}}(i) = (\xi_1^i)^2 \sinh(\lambda_1) + \sum_{j=2}^N (\xi_j^i)^2 \sinh(\lambda_j), \quad (4)$$

其中 λ_1 是网络的主特征值, ξ_1^i 是主特征向量的第 i 个组分. 当网络存在一个巨大的谱隙 (spectral

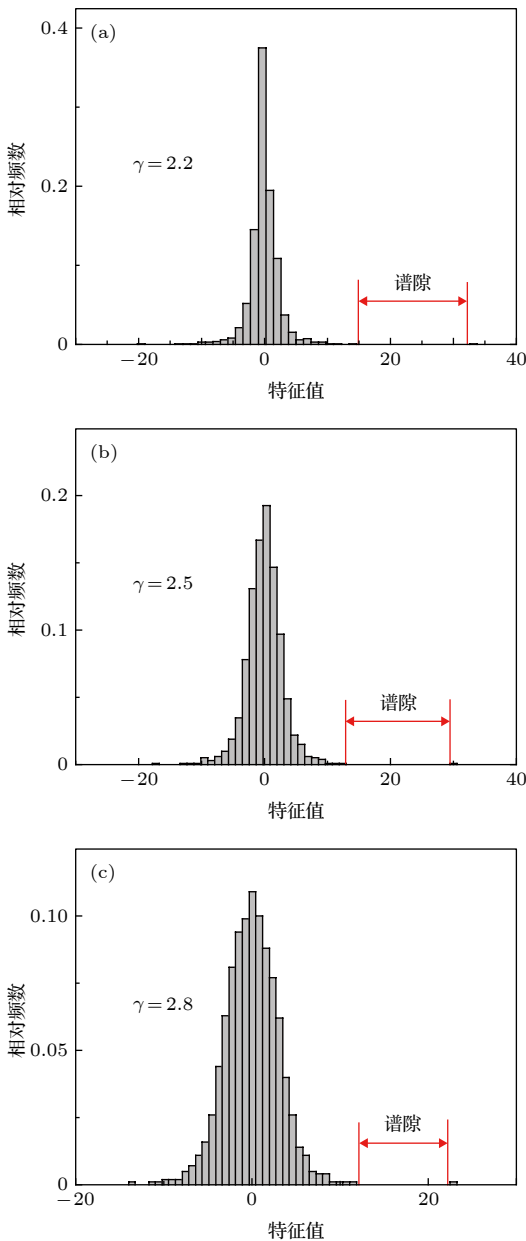


图 2 无标度网络特征谱直方图

Fig. 2. The histograms of eigenvalues of random scale-free networks.

gap) 时, 有 $\lambda_1 \gg \lambda_2 \geq \lambda_3 \geq \dots \geq \lambda_N$. 因此, 在这种情况下,

$$(\xi_1^i)^2 \sinh(\lambda_1) \gg \sum_{j=2}^N (\xi_j^i)^2 \sinh(\lambda_j), \quad (5)$$

则

$$\text{SC}_{\text{odd}}(i) \approx (\xi_1^i)^2 \sinh(\lambda_1). \quad (6)$$

也就是说, 要判断网络特征谱中 λ_1 和 λ_2 之间是否有足够大的谱隙. 需要检测

$$\xi_1^i \propto \sqrt{\text{SC}_{\text{odd}}(i)} - \sqrt{\sinh(\lambda_1)}. \quad (7)$$

令 $A = [\sinh(\lambda_1)]^{-0.5}$, $\eta = 0.5$, (7) 式可以表示为 $\xi_1^i \propto A \left[\sqrt{\text{SC}_{\text{odd}}(i)} \right]^\eta$. 显然, ξ_1^i 和 $\text{SC}_{\text{odd}}(i)$ 之间存在着线性关系. 因此, 我们可以在双对数形式下将 (7) 式改写成:

$$\log \xi_1^i = 0.5 \log \text{SC}_{\text{odd}}(i) - 0.5 \log \sinh(\lambda_1). \quad (8)$$

通过测量不同情况与理想情况的偏差 $\Delta \log \xi_1^i$, 我们可以判断网络是否具有良好的可预测性.

$$\Delta \log \xi_1^i = \log \frac{\xi_1^i}{\xi_1^{\text{ideal}}(i)} = \log \left\{ \frac{(\xi_1^i)^2 \sinh(\lambda_1)}{\text{SC}_{\text{odd}}(i)} \right\}^{0.5}, \quad (9)$$

当 $\Delta \log \xi_1^i \approx 0$ 时, 网络具有良好的可预测性. 由于 $\Delta \log \xi_1^i$ 是一个一维数组, 直接比较 $\Delta \log \xi_1^i$ 与 0 的关系并不容易, 因此, 我们构建一个可预测性的数学表达式 p 去测度 $\Delta \log \xi_1^i$ 多大程度接近于 0. 其数学表达式如下:

$$p = \exp \left[- \sum \sqrt{\left(\frac{\text{SC}_{\text{odd}}(i) - (\xi_1^i)^2 \sinh(\lambda_1)}{\text{NSC}_{\text{odd}}(i)} \right)^2} \right], \quad (10)$$

易知, 可预测性 p 的值域为 $[0, 1]$, 如果偏差趋近于 0, 那么 p 趋近于 1, 表示网络的链路可预测性很好; 反之, 若网络 p 值较小, 表示网络的可预测性差.

4 实验结果分析

4.1 模型网络的可预测性分析

相比于随机网络, BA 无标度网络具有节点生长和边的偏好链接 (preferential attachment) 两种明确的生成机制, 即新加入的节点更倾向于与那些具有较大连接度的节点相连. 一个新节点与一个已经存在的节点 v_i 相连接的概率 Π_i 与节点的度 d_i 成正比:

$$\Pi_i = \frac{d_i}{\sum_j d_j}, \quad (11)$$

这意味着, 如果我们的指标能够有效刻画网络的可预测性, 则 p 值会随着网络演化机制的变化而改变. 为全面比较网络演化机制对 p 刻画可预测性能力的影响, 我们基于 (11) 式, 加入参数 α , 调控 BA 模型中偏好链接机制的强度. 构造连接概率 Π_i' :

$$\Pi_i' = \frac{d_i^\alpha}{\sum_j d_j^\alpha}. \quad (12)$$

当 $\alpha = 0$ 时, 网络生成仅由生长机制决定 (在此情况下老的节点仍有更高的概率获得更多连接); 当 $\alpha = 1$ 时, 网络生成过程具有显著的偏好链接特征. 图 3 展示了当网络平均度为 4 时, 不同节点规模下可预测性 p 值随参数 α 的变化, 结果表明, 随着 α 的增加, 优先链接特性逐渐增强, 我们的指标能够捕捉到网络逐渐明显的优先链接特性, 网络的可预测性越来越好. 并且在连边机制固定的情况下, 可预测性随网络规模的变化不大, 证明 p 指标具有良好的稳定性.

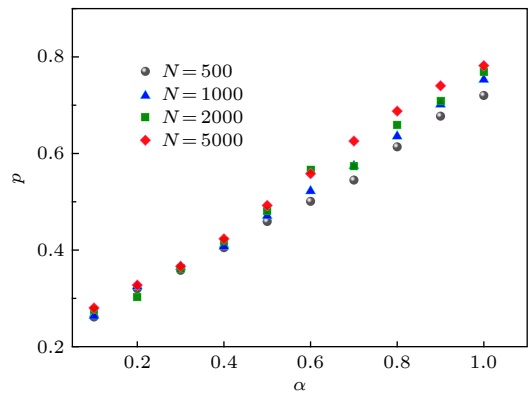


图 3 不同节点规模下, 模型网络可预测性 p 随 α 的变化
Fig. 3. The link predictability of model network versus α with various N .

同时, 为了清晰地对比各种链路预测算法在这两类模型网络中的表现, 我们生成一个节点数为 1000, 平均度为 6 的 BA 无标度网络和与之同样规模的随机网络进行对比实验, 实验结果如图 4 和表 1 所示. 表 1 给出了 12 种基于相似性的链路预测算法在这两个模型网络中的精确度 (precision). 包括 6 种基于节点局部信息的相似性指标: 共同邻居 (CN), Adamic-Adar(AA), 资源分配 (RA), 偏

好连接 (PA), Individual Attraction(IA) 和 CAR 指标; 3 种基于路径的相似性指标: 局部路径 (LP), Katz 和 LHN-II 指标; 3 种基于随机游走的相似性指标: 平均通勤时间 (ACT), 重启的随机游走 (RWR), 局部随机游走指标 (LRW), 具体的算法原理参见文献 [25]. 实验通过随机抽样的方式, 将训练集和测试集按照 9:1 的比例进行划分, 我们固定预测连边的比例, 令 L 等于测试集中的连边数量.

可以看到, 由于 BA 无标度网络中, 新的节点进入网络后会选择网络中已存在的大度节点产生链接. 网络具有固定的网络连边演化机制, 连边都是按照优先链接产生, 因此, 网络具有很好的可预测性. 在图 4(c) 中表现为 ξ_1^i 和 $SC_{\text{odd}}(i)$ 在一条直线上, 体现出 (7) 式表示的线性关系; 反观同样规模的随机网络, 网络中的连边以固定概率随机产生, 不根据任何演化机制和节点属性, 很难基于某一演化机制去预测连边是否存在, 网络可预测性较差. 在图 4(a) 中表现为 ξ_1^i 和 $SC_{\text{odd}}(i)$ 并不具有很强的线性关系. 图 4(b) 的雷达图直观地展示了链路预测算法在两类模型网络中的表现, 结果表明, 各类算法在 BA 无标度网络中的精确度显著优于随机网络, 这与我们对这两类网络可预测性的判断是一致的. 观察各个算法的表现, 在 BA 无标度网络中, PA 指标表现最为出色, 这是因为 PA 算法的思想来源于优先链接的方法, 即连边存在的可能性大小正比于两端度值的积. 因此, PA 算法对于相似性的定义更贴近于 BA 无标度网络的连边演化机制, 故在这类网络中有着优异的表现. 纵使 BA 无标度网络具有优秀的可预测性, LHN-II 算法在网络中的表现却很差. 这是因为 LHN-II 算法是基于一般等价 (regular equivalence) 的思想, 其相似性的定义更多地取决于节点连接的节点之间的相似性, 即使节点对之间不存在共同邻居. 然而, 节点的属性如果不是特殊背景的网络或者有特定的标准往往是很难去量化的, 因此, 虽然无标度网络有着高的可预测性, 但 LHN-II 算法却不是适用于该网络的合适的链路预测算法. 上述结果初步表明, 通过计算链路可预测性 p 的值, 能够回答到底是不可预测的网络还是不合适的算法这个问题, 从而为决策者筛选算法提供指导意见. 上述模型网络只是真实网络一种演化机制的抽象, 真实网络在生长演化过程

中往往表现出如集聚性、社团性、无标度性等多种复杂的结构特征, 为进一步证明指标的有效性, 我们在更多真实网络中进行了实验.

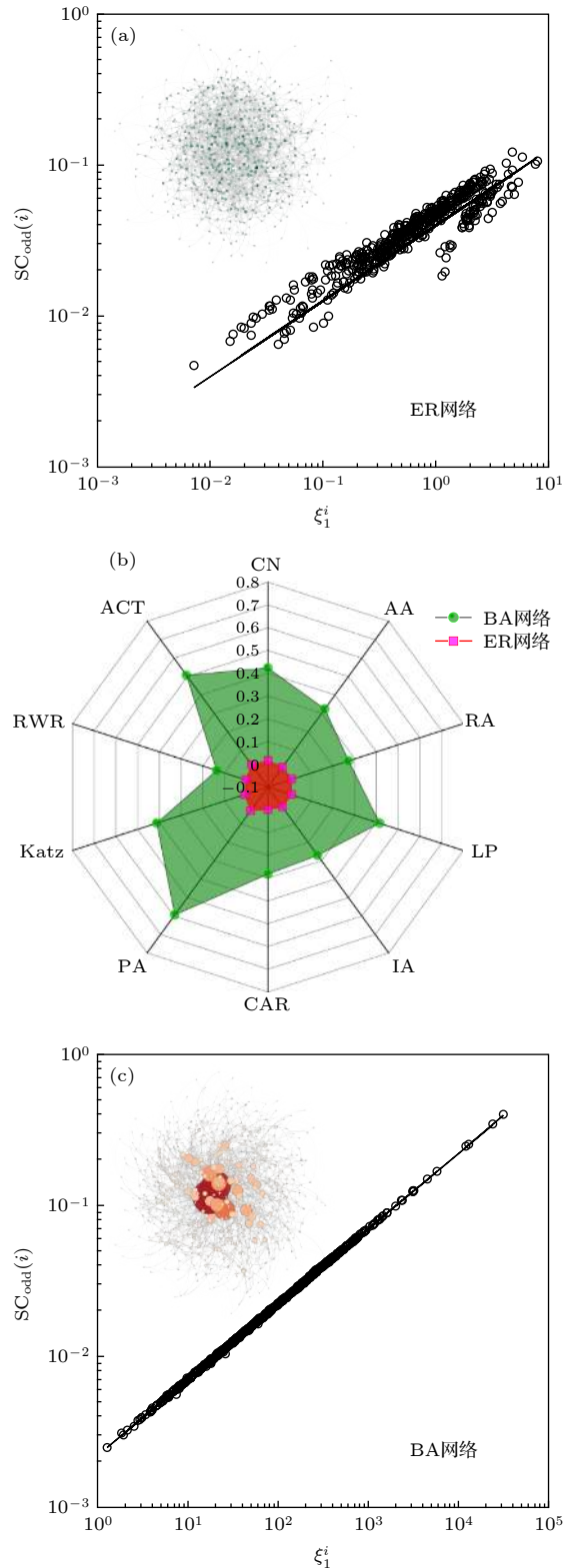


图 4 无标度网络和随机网络可预测性示意图

Fig. 4. The link predictability of BA scale-free network and random graph.

表 1 链路预测算法在模型网络中的表现
Table 1. Performance of link prediction algorithms in model networks.

网络	p	CN	AA	RA	LP	IA	CAR	PA	Katz	RWR	ACT	LRW	LHN-II
BA网络	0.975	0.423	0.324	0.272	0.415	0.271	0.283	0.594	0.412	0.136	0.507	0.085	0.003
随机网络	0.543	0.015	0.008	0.009	0.008	0.009	0	0.030	0.008	0.002	0.020	0	0.001

4.2 真实网络的链路可预测性分析

本节进一步考察可预测性指标在真实世界网络中的表现. 我们选取了各个不同领域的 15 个真实网络作为实验网络. 网络拓扑属性如表 2 所列, V 和 E 表示网络中的节点和边, $\langle k \rangle$ 表示平均度, C 表示集聚系数, r 表示同配系数, $\langle l \rangle$ 表示平均最短路径长度.

在实验中, 我们采用随机抽样的方法, 将训练集和测试集按照 9:1 的比例进行划分, 即测试集包含 10% 的真实连边. 针对预测结果采取 precision 衡量算法的表现, 由于真实网络规模不同, 在实验时固定预测连边的比例, 令 L 等于测试集中的连边数量.

表 3 为链路预测算法在真实网络中的最大精确度 (precision) 测试结果, 每个链路预测算法在每个网络运行 100 次取平均. 从网络间纵向比较来看, 算法在可预测性高的网络上的预测精度要明显高于可预测低的网络, 如图 5 大图所示, 不同颜色的圆代表不同的网络, 圆的大小与网络可预测性 p 成正比. 横坐标表示网络可预测性的值, 纵坐标表

示链路预测算法的最大 precision 值, 纵坐标越大, 算法的最大精度越高. 可以看到, 那些可预测性好的网络对应的 precision 值也相对较高, 如图中右

表 2 不同领域真实网络拓扑属性
Table 2. Basic statistics of real networks.

网络	V	E	r	$\langle k \rangle$	$\langle l \rangle$	C
C_elegans	297	2148	-0.163	14.47	2.46	0.308
Windsurfers	43	336	-0.147	15.63	1.70	0.564
Adolescent health	2539	12969	0.251	10.22	4.52	0.142
Jazz	198	2742	0.020	27.69	2.21	0.520
USAirport	1574	28236	-0.113	35.87	3.14	0.384
Metabolic	453	4596	-0.226	20.29	2.64	0.124
Yeast	2375	11693	0.454	9.85	5.10	0.388
US powergrid	4941	6594	0.003	2.67	20.09	0.103
Physicians	241	1098	-0.056	9.11	3.02	0.552
Air Traffic Control	1226	2615	-0.015	4.27	6.10	0.063
Contiguous USA	49	107	0.233	4.37	4.26	0.406
Email	1133	5451	0.078	9.62	3.65	0.166
King James Bible	1773	9131	-0.048	10.30	3.38	0.163
Protein Stelzl	1706	6207	-0.191	7.28	5.09	0.006
Router	5022	6258	-0.138	2.49	6.45	0.033

表 3 链路预测算法在真实网络中的 precision 值
Table 3. The precision of link prediction algorithms in real networks.

网络	p	CN	AA	RA	LP	IA	CAR	PA	Katz	RWR	ACT	LRW	SRW
C_elegans	0.999	0.100	0.107	0.105	0.101	0.108	0.094	0.058	0.101	0.105	0.055	0.110	0.108
Windsurfers	0.999	0.379	0.396	0.413	0.370	0.393	0.381	0.214	0.369	0.360	0.247	0.402	0.426
Adolescent health	0.422	0.103	0.103	0.088	0.089	0.101	0.094	0.003	0.088	0.053	0.008	0.042	0.047
Jazz	1.000	0.502	0.523	0.542	0.489	0.535	0.517	0.133	0.489	0.352	0.168	0.342	0.393
USAirport	0.998	0.333	0.336	0.364	0.332	0.332	0.330	0.280	0.332	0.087	0.294	0.076	0.080
Metabolic	0.999	0.137	0.195	0.269	0.141	0.168	0.132	0.104	0.141	0.196	0.092	0.214	0.215
Yeast	0.998	0.154	0.177	0.267	0.158	0.161	0.148	0.094	0.174	0.073	0.211	0.045	0.059
US powergrid	0.362	0.054	0.032	0.028	0.058	0.047	0.037	0.000	0.057	0.016	0.034	0.015	0.018
Physicians	0.368	0.119	0.126	0.121	0.117	0.122	0.106	0.014	0.117	0.119	0.015	0.132	0.127
Air Traffic Control	0.480	0.036	0.024	0.018	0.037	0.021	0.025	0.007	0.037	0.002	0.015	0.002	0.002
Contiguous USA	0.540	0.096	0.130	0.132	0.005	0.000	0.000	0.012	0.004	0.067	0.053	0.133	0.121
Email	0.950	0.144	0.158	0.143	0.142	0.159	0.145	0.018	0.141	0.065	0.024	0.052	0.051
King James Bible	0.960	0.167	0.270	0.446	0.163	0.256	0.176	0.078	0.163	0.186	0.069	0.197	0.224
Protein Stelzl	0.441	0.001	0.002	0.001	0.001	0.002	0.006	0.014	0.001	0.006	0.013	0.006	0.006
Router	0.511	0.051	0.029	0.020	0.056	0.031	0.055	0.022	0.055	0.006	0.164	0.005	0.005

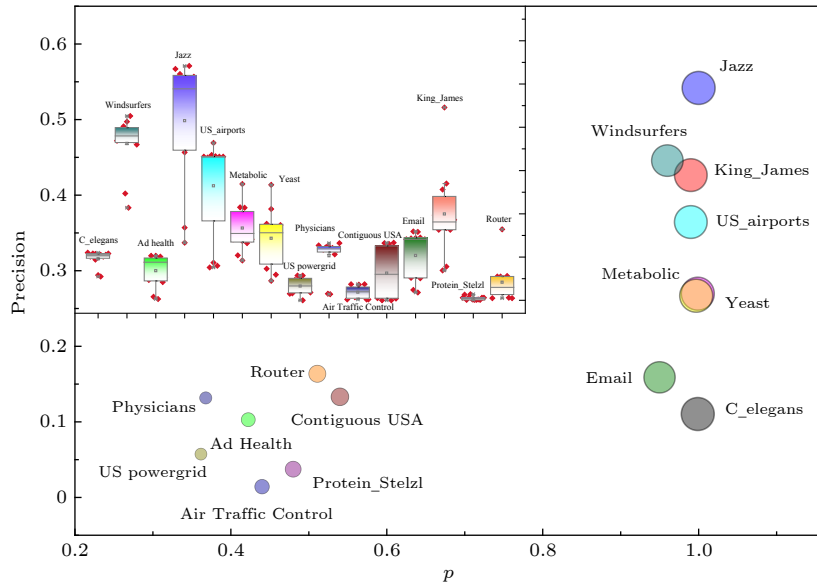


图 5 预测算法在真实网络上的表现

Fig. 5. The performance of prediction algorithms in real networks.

侧较大的圆所示. 相比之下, 图中左下方网络的 precision 值较低, 其对应的网络可预测性值也较差. 值得注意的是, *C_elegans* 网络的可预测值很高, 然而实验选取的多种基于结构相似性的链路算法在网络中的 precision 值普遍不高, 我们进一步计算了各类算法在该网络中的 AUC 值, 结果表明, 最大 AUC 值同样来自于 LRW 指标, 达到了 0.907, 各类算法的平均 AUC 值为 0.848. 因为 AUC 值是基于整个边列表, 而这里的 L 是基于前 10% 的边, 说明这些算法对于该网络的正确预测大部分来自于边列表的后半段, 测试的算法在该网络上的预测效率均较低, 对于该网络有待挖掘能够快速找到更多正确连边的预测算法. 图 5 里的箱线图则显示了对每个网络预测算法之间的比较结果. 我们发现, 除了少数网络各个预测算法的表现基本维持在同一水准外, 大多数预测算法在网络中的效果差别很大, 这也体现出网络和算法选择与匹配问题的重要性. 例如, 在 Jazz 网络中, CN, AA, RA 等指标的 precision 都达到了 0.5 左右, 然而, 优先链接指标 PA 的精确度却很差, 仅为 0.133. 该结果说明, 对于 Jazz 网络来说, 基于共同邻居的算法更能捕获爵士音乐家间的合作关系, 且这种关系不是以优先链接的形式展开的, 所以由优先链接思想演化而来, 依靠节点度乘积来刻画相似性的 PA 指标与 Jazz 网络并不匹配. 事实上, 不仅是 Jazz 网络, PA 算法在很多真实网络中的 precision 值都低于

其他算法, 这说明真实网络在演化生长的过程中往往表现出集聚性、社团性、无标度性、小世界性等多种结构特征, PA 算法虽然能够在无标度网络中表现突出, 其相对单一的相似性刻画思想难以胜任网络结构特征比较复杂的真实网络. 类似的情况还出现在 Router 网络中, 该网络中大多数算法的 precision 值都低于 0.05, 只有 ACT 算法的 precision 达到了 0.164, 这说明 ACT 的算法思想能够更好地匹配该网络更多的结构特征. 结合表 3 和箱线图进行讨论分析, 能够为网络与算法间的匹配和选择问题提供帮助.

5 结论与展望

在网络科学和信息科学领域中, 我们常常会遇到信息缺失的情况. 链路预测作为数据挖掘领域重要的研究方向之一, 是一个长期存在的挑战和难题. 近年来有关链路预测理论和实证的研究发展迅速, 大量研究工作的重心都放在提出算法本身上, 各种各样精确度越来越高的算法层出不穷. 但是, 大量实验结果表明, 在同一网络中不同算法的精度有好有坏. 因此, 到底是不可预测的网络, 还是不合适的链路预测方法, 是一个很有挑战性问题.

本文从统计物理中图的可扩张性得到启发, 提出了一种基于特征谱的链路可预测性度量指标. 通过对网络特征谱的分析, 构造了一个指标来评价网络缺失链路的“可被预测的程度”. 模型网络和大量

真实网络中的实验结果证明, 该指标能够有效地刻画网络的链路可预测性, 且能够就链路预测算法选择提供建议. 例如, 随机网络的可预测性较差, 而无标度网络的可预测性较好. 然而, 虽然各类算法在无标度网络中的精确度明显优于随机网络, LHN-II 算法却不是适用于该网络的合适的链路预测算法; 在实证网络中, Jazz 网络具有较好的可预测性, 一些基于共同邻居的相似性指标如 CN, AA, RA 表现较好, 然而优先链接指标 PA 的精确度却很差. 这是因为网络中音乐家之间的合作关系不是以优先链接的形式展开的, 依靠节点度乘积来刻画相似性的 PA 算法不是适合 Jazz 网络的链路预测算法. 事实上, 我们认为网络的可被预测的程度差并不绝对, 可预测性差的网络也许只是没能遇到理解它结构特征的链路预测算法. 一个好的链路预测算法背后往往有一套贴近网络生长演化的连边机制, 同样道理, 一个重要的机制往往能够提取出一种精确的链路预测算法. 链路预测的研究与网络的结构和演化密切相关, 即算法与网络连边形成机制相辅相成, 是互通的, 网络的链路可预测性即是网络连边演化机制的另一种表现形式. 我们把基于特征谱视角计算可预测性, 获取网络能够被预测的难易程度的工作视作基础, 在下一步的研究中, 拟通过对具有典型演化机制的网络进行分析, 说明预测背后的主要机制以及预测正确或者错误的原因, 去探索一些因果关系. 同时, 考虑基于特征谱挖掘和学习不同网络的拓扑结构信息, 对网络拓扑结构进行标记分类, 针对不同类型网络的连边机制, 提出与之相匹配的链路预测算法.

参考文献

- [1] Albert R, Jeong H, Barabási A L 2000 *Nature* **406** 378
- [2] Albert R, Barabási A L 2002 *Rev. Mod. Phys.* **74** 47
- [3] Newman M E J 2003 *SIAM Rev.* **45** 167
- [4] Wang X F 2002 *Int. J. Bifurcat. Chaos* **12** 885
- [5] Hou L L, Lao S Y, Xiao Y D, Bai L 2015 *Acta Phys. Sin.* **64** 188901 (in Chinese) [侯绿林, 老松杨, 肖延东, 白亮 2015 物理学报 **64** 188901]
- [6] Lü L L 2010 *J. Univ. Electron. Sci. Technol. China* **39** 651 (in Chinese) [吕琳媛 2010 电子科技大学学报 **39** 651]
- [7] Lü L L, Zhou T 2013 *Link Prediction* (Beijing: Higher Education Press) p41 (in Chinese) [吕琳媛, 周涛 2013 链路预测 (北京: 高等教育出版社) 第 41 页]
- [8] Sarukkai R R 2010 *Comput. Networking* **33** 377
- [9] Clauset A, Moore C, Newman M E J 2008 *Nature* **453** 98
- [10] Guimerá R, Marta S P 2009 *Proc. Natl. Acad. Sci. U.S.A.* **106** 22073
- [11] Pan L M, Zhou T, Lü L Y, Hu C K 2016 *Sci. Rep.* **6** 22955
- [12] Taskar B, Wong M F, Abbeel P, Koller D 2003 *Proceedings of the 16th International Conference on Neural Information Processing Systems* (Cambridge: MIT Press) pp659-666
- [13] David L N, Kleinberg J 2007 *J. Am. Soc. Inf. Sci. Technol.* **58** 1019
- [14] Zhou T, Lü L Y, Zhang Y C 2009 *Eur. Phys. J. B* **71** 623
- [15] Xu X K, Fang J Q 2010 *Complex Syst. Complex Sci.* **7** 116 (in Chinese) [许小小, 方锦清 2010 复杂系统与复杂性科学 **7** 116]
- [16] Tan S Y, Wu J, Lü L Y, Li M J, Lu X 2016 *Sci. Rep.* **6** 22916
- [17] Amaral L A N 2008 *Proc. Natl. Acad. Sci. U.S.A.* **105** 6795
- [18] Menche J, Sharma A, Kitsak M, Ghiassian S D, Vidal M, Loscalzo J, Barabási A L 2015 *Science* **347** 1257601
- [19] Lü L Y, Medo M, Yeung C H, Zhang Y C, Zhang Z K, Zhou T 2012 *Phys. Rep.* **519** 1
- [20] Zhou Y X, Lü L Y 2012 *J. Univ. Electron. Sci. Technol. China* **41** 163 (in Chinese) [朱郁筱, 吕琳媛 2012 电子科技大学学报 **41** 163]
- [21] Liu H K, Lü L Y, Zhou T 2011 *Scientia Sinica: Phys. Mech. Astron.* **41** 816 (in Chinese) [刘宏鲲, 吕琳媛, 周涛 2011 中国科学: 物理学 力学 天文学 **41** 816]
- [22] Zhang Q M, Lü L Y, Wang W Q, X Y, Zhou T 2013 *PLoS One* **8** 1
- [23] Wang W Q, Zhang Q M, Zhou T 2012 *EPL* **98** 28004
- [24] Zhang Q M, Xu X K, Zhu Y X, Zhou T 2015 *Sci. Rep.* **5** 10350
- [25] Lü L Y, Zhou T 2011 *Physica A* **390** 1150
- [26] Yu H, Liu Z, Li Y J, Yi C 2016 *Acta Phys. Sin.* **65** 020501 (in Chinese) [于会, 刘尊, 李勇军, 尹超 2016 物理学报 **65** 020501]
- [27] Xu X K, Xu S, Zhu Y X, Zhang Q M 2014 *Complex Syst. Complex Sci.* **11** 41 (in Chinese) [许小小, 许爽, 朱郁筱, 张千明 2014 复杂系统与复杂性科学 **11** 41]
- [28] Lü L Y, Pan L M, Zhou T, Zhang Y C, Stanley H E 2015 *Proc. Natl. Acad. Sci. USA* **112** 2325
- [29] Yin L K, Zheng H Y, Bian T, Deng Y 2014 *Physica A* **482** 699712
- [30] Hanley J A, McNeil B J 1982 *Radiology* **143** 29
- [31] Herlocker J L, Konstan J A, Terveen L G, Riedl J T 2004 *ACM Trans. Inf. Syst.* **22** 5
- [32] Zhou T, Ren J, Matúš M, Zhang Y C 2007 *Phys. Rev. E* **76** 046115
- [33] Farkas I J, Derényi I, Barabási A L, Vicsek T 2001 *Phys. Rev. E* **64** 026704
- [34] Estrada E, Hatano N, Benzi M 2012 *Phys. Rep.* **514** 89
- [35] Newman M E J 2006 *Phys. Rev. E* **74** 036104
- [36] Kousik D, Sovan S, Madhumangal P 2018 *Soc. Netw. Anal. Min.* **8** 1
- [37] Zhang J H, Shen Y Z, Li Y Y, Sun J, Li X X 2017 *Acta Phys. Sin.* **66** 188901 (in Chinese) [张金浩, 申玉卓, 李艳雨, 孙娟, 李晓霞 2017 物理学报 **66** 188901]
- [38] Wang R, Lin P, Liu M X, Wu Y, Zhou T, Zhou C S 2019 *Phys. Rev. Lett.* **123** 038301
- [39] Estrada E 2006 *EPL* **73** 649
- [40] Tan S Y, Wu J, Li M J, Lu X 2016 *EPL* **114** 58002
- [41] Estrada E, Hatano N 2007 *Chem. Phys. Lett.* **439** 247

Link predictability of complex network from spectrum perspective^{*}

Tan Suo-Yi¹⁾ Qi Ming-Ze²⁾ Wu Jun^{3)†} Lu Xin^{1)‡}¹⁾ (*College of Systems Engineering, National University of Defense Technology, Changsha 410073, China*)²⁾ (*College of Liberal Arts and Sciences, National University of Defense Technology, Changsha 410073, China*)³⁾ (*International Academic Center of Complex Systems, Beijing Normal University, Zhuhai 519087, China*)

(Received 3 November 2019; revised manuscript received 27 February 2020)

Abstract

Link prediction in complex networks has attracted much attention in recent years and most of work focuses on proposing more accurate prediction algorithms. In fact, “how difficultly the target network can be predicted” can be regarded as an important attribute of the network itself. In this paper it is intended to explain and characterize the link predictability of the network from the perspective of spectrum. By analyzing the characteristic spectrum of the network, we propose the network link predictability index. Through calculating the index, it is possible to learn how difficultly the target network can be predicted before choosing algorithm, and to solve the problem whether the network is unpredictable or the algorithm is inappropriate. The results are useful for the selecting and matching the complex network and link prediction algorithms.

Keywords: link predictability, link prediction, spectrum theory, complex network**PACS:** 89.75.Hc, 89.75.Fb, 64.60.aq**DOI:** [10.7498/aps.69.20191817](https://doi.org/10.7498/aps.69.20191817)

^{*} Project supported by the National Natural Science Foundation of China (Grant Nos. 882041020, 71771213, 71901067, 71871217) and the Science and Technology Plan Project of Hunan Province, China (Grant Nos. 2017RS3040, 2018JJ1034, 2019JJ20019).

[†] Corresponding author. E-mail: wujunpla@hotmail.com

[‡] Corresponding author. E-mail: xin.lu@flowminder.org